

کلوزینگ و تولید فرم مونومر استرپتاویدین نوترکیب و ارزیابی اتصال آن به بیوتین

الهام دیدهورا^۱ (M.Sc)، عبدالرحیم صادقی^۲ (Ph.D)، حمید ابطحی^{۳*} (Ph.D)

۱- گروه زیست فناوری و پژوهشی مولکولی، دانشگاه علوم پزشکی اراک، اراک، ایران

۲- گروه بیوشیمی و ترنسیک، دانشگاه علوم پزشکی اراک، اراک، ایران

۳- مرکز تحقیقات پژوهشی و مولکولی، دانشگاه علوم پزشکی اراک، اراک، ایران

چکیده

هدف: استرپتاویدین پروتئینی هموترامر است که تمایل اتصال بالای آن به بیوتین باعث شده در فرآیندهای بیوتکنولوژی و مطالعات سلوی کاربرد فراوانی داشته باشد. اما فرم تترامر آن در بعضی تداخل ایجاد می‌کند. بنابراین در این مطالعه با ایجاد جهش حذفی اقدام به تولید فرم مونومر استرپتاویدین گردید.

مواد و روش‌ها: ابتدا توالی نوکلئوتیدی استرپتاویدین از سایت NCBI گرفته شد و بعد از اعمال جهش در توالی ژن مورد نظر به منظور بیان در باکتری E.coli بھینه و سنتز گردید. برای کلون کردن ژن از سویه DH5α و E.coli BL21 (DE3) استفاده شد. تخلیص پروتئین با کیت pLysS انجام شد و توسط HABA dye میزان اتصال استرپتاویدین به بیوتین مورد سنجش قرار گرفت.

یافته‌ها: فرم مونومر استرپتاویدین در میزان بیانی E.coli BL21 (DE3) تولید و تخلیص گردید. استرپتاویدین مونومر نوترکیب دارای تمایل اتصال مناسب به بیوتین بود.

نتیجه‌گیری: با ایجاد جهش در توالی پیتیدی استرپتاویدین می‌توان به فرم مونومر آن دست یافت که دارای تمایل اتصال مناسب به بیوتین باشد.

واژه‌های کلیدی: استرپتاویدین، همانند سازی مولکولی، اشریشیا کلی

سوم که β -Barrel و فنری شکل است را ایجاد می‌کند. در نهایت برای ایجاد ساختار چهارم استرپتاویدین، چهار مونومر یکسان (چهار β -Barrel - یکسان) به یکدیگر متصل می‌شوند. بنابراین جایگاه اتصال بیوتین در انتهای هر β -Barrel قرار گرفته است [۴،۵]. همچنین بر اساس مطالعات کریستالوگرافی که از استرپتاویدین و کمپلکس آن با بیوتین صورت گرفته موتیف‌های اصلی اتصال شناسایی شده‌اند که شامل:

(۱) لوب پلی پیتیدی منعطفی که بین رشته ۳ و ۴ قرار دارد، بیوتین را در داخل پروتئین پنهان می‌کند و زمانی که به بیوتین

مقدمه

پروتئین استرپتاویدین با وزن مولکولی ۵۶ کیلو دالتون توسط باکتری رشتهدی استرپتومایسیس آویدینی تولید می‌شود. استرپتاویدین کمپلکس غیر کوالانت محکمی با میزان تمایل اتصال بالای (10^{-14} to 10^{-15} kd) با بیوتین تشکیل می‌دهد [۲،۱]. پروتئین اصلی دارای ۱۵۹ اسید آمینه است که غالباً دو انتهای آن برای دستیابی به هسته اصلی استرپتاویدین برش داده می‌شود، که این کار برای افزایش تمایل اتصال به بیوتین ضروری است [۳]. ساختار ثانویه مونومر استرپتاویدین از هشت زنجیره β ناهمسو تشکیل شده که پیچ خورده و ساختار

ستنتز ژن جهش یافته استرپتاویدین. ابتدا توالی ژن استرپتاویدین با شماره دسترنسی X03591 از سایت NCBI (http://www.ncbi.nlm.nih.gov/gene) دریافت شد. پس از بررسی ناحیه کدکننده ژن استرپتاویدین و حذف کدون Vector NTI، توالی مورد نظر با نرم افزار تریپتوфан ۱۲۰، توالی مورد نظر با نرم افزار Vector NTI جهت بیان در میزبان E.coli بهینه گردید و سایت برش آنزیم های BamHI و XhoI در دو انتهای ژن قرار گرفت. سپس توالی مورد نظر توسط شرکت بیوماتیک، کانادا در وکتور pSK سنتز گردید.

کلونینگ ژن و تولید فرم مونومر استرپتاویدین نوترکیب کلونینگ ژن در باکتری اشريشیاکلی

ناقل پلاسمیدی pSK حاوی ژن جهش یافته استرپتاویدین و ناقل پلاسمیدی pET32a با استفاده از آنزیم های BamHI و XhoI برش داده شدند. در مرحله بعد واکنش الحاق بین ناقل پلاسمیدی pET32a و قطعه ژنی برش خورده با استفاده از آنزیم DNA لیگاز T4 در حرارت ۲۲ درجه سانتی گراد به مدت یک ساعت به منظور تولید پلاسمید نوترکیب pET32a-strup انجام گرفت. سپس ناقل های نوترکیب از طریق ترانسفورماتیون به روش شوک حرارتی در میزبان کلونینگ E.coli DH5 α مستعد شده با روش کلسیم کلراید (CaCl₂) وارد شدند [۱۷]. پس از رشد باکتری ها، کلنی های ترانسفورم شده به وسیله غربالگری بر روی محیط های نوترینت آگار حاوی آنتی بیوتیک آمپی سیلین با غาصلت ۱۰۰ mg/ml انتخاب شدند. جهت اطمینان از ورود پلاسمید های نوترکیب به داخل سلول های مستعد، از سلول های انتخاب شده استخراج پلاسمید انجام گرفت. پلاسمید های نوترکیب حاوی ژن جهش یافته استرپتاویدین به منظور بیان ژن به میزبان بیانی E.coli BL21(DE3) مستعد شده انتقال یافتد [۱۸].

بیان و تخلیص پروتئین نوترکیب استرپتاویدین. برای بیان پروتئین نوترکیب، از کلونی های E.coli BL21(DE3) حاوی پلاسمید های pET32a- strp در محیط

متصل می شود تحت تاثیر تغییرات کنفورماسیونی از حالت باز به شکل بسته تغییر حالت می دهد.

(۲) چندین تریپتوfan در اطراف سایت اتصال بیوتین قرار دارد که یکی از آن ها به واسطه واکنش های هیدروفویک غالب است.

(۳) اسید آمینه های هیدروفویلی که با بیوتین پیوندهای هیدروژنی برقرار می کنند.

بنابراین جایگاه اتصال بیوتین در هر β -Barrel جزء از بخش درونی هر β -Barrel به علاوه تریپتوfan ۱۲۰ حفاظت شده از زیر واحد مجاور می باشد [۷،۶]. اتصال محکم بیوتین به دلیل تشکیل پیوندهای هیدروژنی و هم چنین واکنش های هیدروفویلی (در ناحیه ای که در برگیرنده چندین تریپتوfan که زمینه را برای ایجاد پیوندهای واندروالسی فراهم می کنند) می باشد. در واقع کمپلکس استرپتاویدین-بیوتین دارای قوی ترین اتصال در طبیعت است [۹،۸] طوری که اتصال استرپتاویدین به بیوتین یک میلیون بار قوی تر از واکنش بین آنتی بادی-آنتی ژن می باشد [۱۰]. این ویژگی باعث شده استرپتاویدین به طور گستردگی در مطالعات، سنجش ها و فرایاندهای بیوتکنولوژی همانند تشخیص، تخلیص، جداسازی پروتئین و تشخیص نوکلئیک اسید مورد استفاده قرار گیرد [۱۱-۱۳]. از دیگر ویژگی های منحصر به فرد استرپتاویدین مقاومت در برابر گرما، دناتورها (تریتون و SDS)، رنج های بالا و پایین pH و هم چنین فعالیت پروتولیتیکی برخی آنزیم ها می باشد [۱۴،۱۵]. با وجود ویژگی های مطلوب فرم تترامر استرپتاویدین، این فرم در بعضی از سنجش ها به دلیل اندازه بزرگ و تجمع زیر واحد های آن تداخل ایجاد می کند [۱۶]. در نتیجه برای گسترش کاربرد استرپتاویدین تولید فرم مونومر آن مورد توجه می باشد. بنابراین در این مطالعه با حذف تریپتوfan ۱۲۰ از توالی پیتیدی استرپتاویدین به بررسی تشکیل ساختار مونومر و تمایل اتصال آن به بیوتین پرداخته شد.

مواد و روش ها

استرپتاویدین متصل شده و یک کمپلکس زرد رنگ را تولید می‌کند. HABA با میل ترکیبی کمی به استرپتاویدین متصل می‌شود که بیوتین قادر است در این کمپلکس جایگزین HABA شده و منجر به کاهش جذب استرپتاویدین در طول موج 500 nm شود. بنابراین تمایل اتصال بر اساس کاهش جذب از طریق Green method ارزیابی گردید [۲۰].

برای تعیین قدرت اتصال استرپتاویدین به بیوتین، نسبت بیوتین به استرپتاویدین باید تعیین شود. برای این منظور از رابطه P/B (غلهٔ استرپتاویدین و B غلهٔ بیوتین بر اساس مول) استفاده گردید. برای تعیین غلهٔ بیوتین به روش زیر عمل گردید. در ابتدا باید میزان کاهش جذب با استفاده از فرمول زیر تعیین گردد:

$$\Delta A = (0.9 \times OD_1) + OD_3 - OD_2.$$

در این رابطه OD_1 عبارت است از OD_{500} بدست آمده از ترکیب Streptavidin-HABA در فقدان وجود بیوتین است. OD_2 عبارت است از OD_{500} از ترکیب Streptavidin-HABA در حضور وجود بیوتین است. OD_3 به عنوان محلول HABA بلانک می‌باشد و شامل استرپتاویدین، HABA و آب است. تعیین مقدار بیوتین بر اساس واحد میکرومول در هر میلی لیتر از رابطه $C = \Delta A / 34$ استفاده می‌گردد. اندازه‌گیری مقدار بیوتین در نمونه آزمایش با استفاده از فرمول $B = C \times 10$ تعیین می‌گردد. برای تعیین نسبت بیوتین به استرپتاویدین از رابطه P استفاده شد. اتصال قوی بین بیوتین و استرپتاویدین هنگام مشاهده می‌شود که نسبت مولی (نسبت بیوتین به استرپتاویدین) بالا است.

نتایج

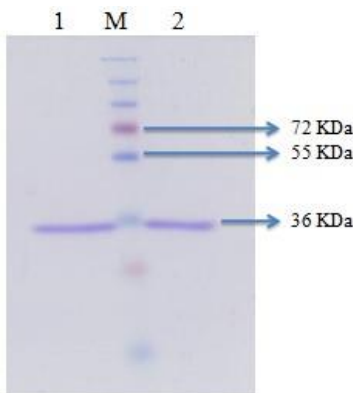
تولید و تخلیص پروتئین استرپتاویدین. تولید پروتئین با استفاده از IPTG بعداز انتقال پلاسمید نوترکیب pET32a-strup به سلول‌های مستعد polysS (DE3) E.coli BL21 (DE3) انجام شد (شکل - A1). به علت حضور 6-His tag (A1) در هر دو انتهای پروتئین نوترکیب، تخلیص از طریق کروماتوگرافی تمایلی با استفاده از کیت Ni-NTA صورت گرفت و باند پروتئین

نوترینت براث حاوی آنتی‌بیوتیک‌های آمپسی‌سیلین و کلرآمفینیکل کشت داده شد. سپس ۵۰۰ میکرولیتر از باکتری‌های کشت داده شده به ۵۰ میلی‌لیتر از محیط القا اضافه شد و در حرارت ۳۷ درجه سانتی‌گراد بر روی انکوباتور شیکردار با ۲۲۰ دور در دقیقه قرار داده شد. پس از این‌که تعداد باکتری‌ها به حد مناسب رسید (OD600=0/6) سپس از محلول یک مولار (Isopropyl β-D-1-thiogalactopyranoside) IPTG به منظور القا بیان پروتئین به سوسپانسیون باکتری اضافه گردید تا غلهٔ نهایی IPTG به یک میلی‌مولار رسید. چهار ساعت پس از القای تولید پروتئین، رسوب باکتری با استفاده از سانتریفیوژ (۱۰ دقیقه با ۸۰۰۰ rpm) جمع آوری شد. برای بررسی نتیجه القاء از روش الکتروفورز پروتئین‌های حاصل از رسوب باکتری بر روی ژل پلی‌اکریل آمید (12% SDS-PAGE) استفاده گردید.

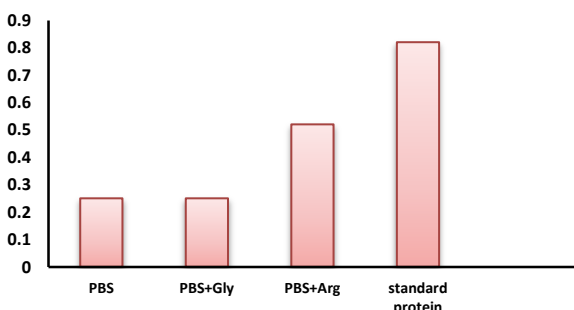
در این مطالعه به علت وجود دنباله هیستیدینی (6His.tag) در پروتئین بیان شده که توسط وکتور بیانی pET-32a اضافه شده است، تخلیص آن توسط کیت Ni-NTA agarose resin طبق دستورالعمل شرکت سازنده (کیاژن، آمریکا) بر اساس کروماتوگرافی تمایلی صورت گرفت. میزان پروتئین خالص شده با استفاده از روش برد فورد اندازه‌گیری گردید و کیفیت آن نیز با استفاده از ژل الکتروفورز پلی‌اکریل آمید (12% SDS-PAGE) مورد بررسی قرار گرفت [۱۹].

سنجهٔ فعالیت پروتئین نوترکیب، در این مطالعه به منظور ریفلدینگ صحیح و در نتیجه افزایش فعالیت پروتئین استرپتاویدین نوترکیب، از دیالیز استفاده گردید. دیالیز پروتئین خالص شده در برابر محلول PBS و با استفاده از غشاء نیمه تراوا در حضور اسیدهای آمینه گلایسین (با غلهٔ یک میلی‌مولار) و آرژنین (با غلهٔ یک میلی‌مولار) انجام گرفت. سپس برای بررسی میزان اتصال آن به بیوتین از روش استاندارد 2-hydroxyazobenzene dye (4'-hydroxyazobenzene carboxylic acid) استفاده شد. در این روش HABA به

به این که pH بافر دیالیز در حضور آرژنین قلیایی می‌شود بنابراین برای بررسی تاثیر pH، دیالیز پروتئین در حضور آرژنین و در pH خنثی نیز انجام شد که مقایسه نتایج حاصل از دیالیز در pH قلیایی و خنثی نشان داد که پروتئین در pH قلیایی ریفلدینگ مناسب خود را به دست می‌آورد (جدول ۲ و شکل ۳ و ۴).



شکل ۲. آنالیز استرپتاویدین نوترکیب فاقد تریپتوفان ۱۲۰ در حضور و عدم حضور بیوتین M- نشانگر پروتئین، ۱- استرپتاویدین نوترکیب در عدم حضور بیوتین، ۲- استرپتاویدین نوترکیب در حضور بیوتین

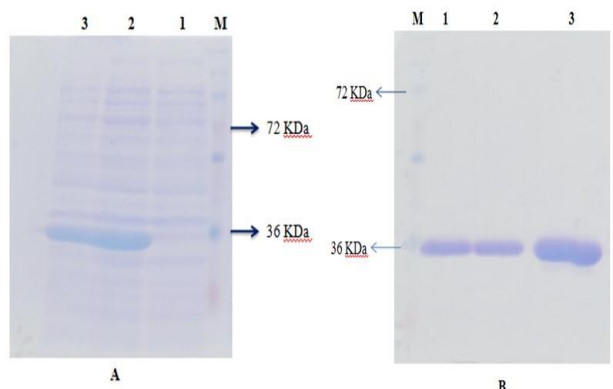


شکل ۳. مقایسه نسبت مولی بیوتین به پروتئین، استرپتاویدین استاندارد با استرپتاویدین نوترکیبی که در بافرهای PBS، PBS+Gly و PBS+Arg دیالیز شده.

جدول ۲. میزان جذب و نسبت مولی بیوتین به پروتئین را در نمونه هایی که در بافر pH حاوی آرژنین با pH های متفاوت دیالیز شدند را نشان می دهد.

| pH | نسبت مولی بیوتین به استرپتاویدین استاندارد | نسبت مولی بیوتین به استرپتاویدین نوترکیب | OD2 | OD1 | میزان جذب دیالیز |
|----|--|--|-------|-------|------------------|
| ۱۰ | ۴/۱ | ۳/۳۳ | ۱/۱۷۶ | ۱/۳۱۲ | PBS+Arg |
| ۷ | ۴/۱ | ۱/۴۱ | ۰/۵۰۲ | ۰/۵۷۷ | PBS+Arg |

تخلیص شده روی ژل 12% SDS-PAGE در ناحیه ۳۶ کیلوdalton مشاهده شد (شکل -B1). سنجش اتصال استرپتاویدین نوترکیب به بیوتین. به منظور بهبود در ریفلدینگ پروتئین از اسید آمینه‌های آرژنین و گلایسین در بافر دیالیز استفاده گردید که اسید آمینه آرژنین در ریفلدینگ پروتئین موثر بود و باعث کاهش جذب آن شد (جدول ۱ و شکل ۱).



شکل ۱. تولید و تخلیص استرپتاویدین نوترکیب، A: M نشانگر پروتئین، چاهک انمونه قبل از القا، چاهک ۲ و ۳ به ترتیب نمونه های که بعد از ۲ و ۴ ساعت القا شده اند . B: M نشانگر پروتئین، ۱ و ۳ نمونه های تخلیص شده استرپتاویدین

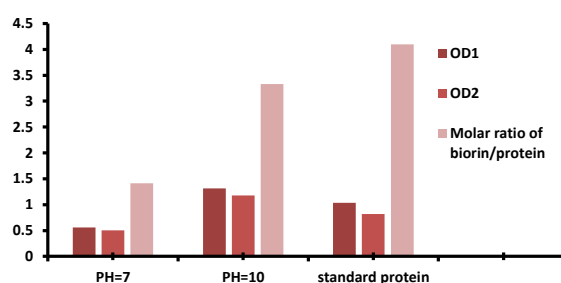
جدول ۱. میزان جذب و نسبت مولی بیوتین به پروتئین را در نمونه های دیالیز شده نشان می دهد.

| شرایط دیالیز | میزان جذب | OD1 | OD2 | نسبت مولی بیوتین به استرپتاویدین نوترکیب | نسبت مولی بیوتین به استرپتاویدین استاندارد |
|--------------|-----------|-------|------|--|--|
| PBS | ۰/۲۸۲ | ۰/۲۳۹ | ۰/۲۵ | ۰/۵۲ | ۰/۸۲ |
| | ۰/۸۲۳ | ۰/۷۳۶ | | | |
| | ۰/۲۷۹ | ۰/۲۴۰ | | | |

به منظور بررسی ساختار استرپتاویدین نوترکیب نمونه های دیالیز شده روی ژل 12% SDS-PAGE آنالیز شدند. باند استرپتاویدین در حضور و عدم حضور بیوتین در ناحیه ۳۶ کیلوdalton ظاهر شد که نشان دهنده ساختار مونومر می باشد (شکل ۲).

از آنجایی که اسید آمینه آرژنین در بهبود ریفلدینگ پروتئین استرپتاویدین نوترکیب موثر بود و از طرفی با توجه

بازهای ناحیه ۱۲۱-۵۰ سیگنال پیتید را کد می‌کنند در ژن طراحی شده حذف گردیدند. در ژن استرپتاویدین ناحیه ۵۹۸-۱۲۲ پروتئین بالغ (پروتئین فاقد سیگنال پیتید) را کد می‌کند [۲۶]. در نتیجه این توالی برای طراحی ژن به منظور تولید استرپتاویدین نوترکیب انتخاب شد. در این مطالعه جهت کلوینینگ از بакتری *E.coli* سویه‌های DH5 α و BL21(DE3)pLyss استفاده شد. این دو سویه بیماری زا DH5 α نیستند و برای کارهای کلوینینگ بهینه شده‌اند. سویه DH5 α کارآیی بالایی برای ترانسفورماسیون به واسطه چندین جهش پیدا کرده است. و به عنوان میزان کلونی مطرح می‌باشد. اما این سویه به دلیل دارا بودن پروتاز، باعث شکسته شدن پروتئین نوترکیب می‌شود و نمی‌توان از آن برای بیان پروتئین BL21(DE3)pLyss به نظر کیب استفاده کرد بنابراین سویه عنوان میزان بیانی جهت القا پروتئین‌های نوترکیب استفاده گردید سویه BL21(DE3)pLyss فاقد پروتازهای متصل به غشاء از جمله HtpR, DegP, Lon و OmpT می‌باشد، بنابراین تخریب پروتئین نوترکیب در آن صورت نمی‌گیرد [۲۷, ۲۸]. با توجه به این که بیان ژن هدف در سیستم تحت کنترل پروموتور قوی باکتریوفاژ T7 است و کنترل این پروموتور توسط RNA پلی‌مراز باکتریوفاژ T7 که در کروموزوم باکتری کلون شده، صورت می‌گیرد، بنابراین سیستم رونویسی pET مستقل از سلول میزان عمل می‌کند در نتیجه میزان بیان پروتئین در این سیستم بالا می‌باشد. از طرفی دیگر ترادف ویژه مربوط به ۶ اسید آمینه هیستیدین (6His.Tag) که در ناحیه ۵ مکان کلوینینگ ژن قرار گرفته به انتهای آمینی پروتئین اضافه می‌شود و خالص‌سازی پروتئین تولید شده را از طریق کروماتوگرافی تمایلی میسر می‌کند [۲۹]. بنابراین توالی ژن طراحی شده در pET-32a وزن ۳۲a کیلو دالتون وزن استرپتاویدین تخلیص شده که تقریباً ۱۶/۵ کیلو دالتون دارد با اضافه شدن توالی pET-32a وزن پروتئین نوترکیب تا ۳۶ کیلو دالتون افزایش پیدا می‌کند [۳۰] که در واقع این نتیجه‌گیری روی ۱۲% SDS-PAGE تایید شد.



شکل ۴. مقایسه بین میزان جذب و نسبت مولی بیوتین به پروتئین، استرپتاویدین نوترکیب دیالیز شده در دو pH متفاوت با استرپتاویدین استاندارد.

بحث و نتیجه‌گیری

با توجه به کاربردهای پروتئین استرپتاویدین در علوم مولکولی و از طرفی محدودیت‌های استفاده از فرم تترامر، بنابراین به منظور گسترش تکنولوژی استفاده از استرپتاویدین تولید فرم مونومر آن مطرح می‌باشد [۱۶]. مطالعات پیشین نشان داده است اسید آمینه تریپتوفان ۱۲۰ استرپتاویدین زیر واحد مجاور متصل می‌گردد و در تشکیل ساختار تترامر استرپتاویدین موثر است [۲۱, ۲۲]. در این مطالعه با حذف تریپتوفان ۱۲۰ در توالی پیتیدی استرپتاویدین، ساختار مونومری با تمایل اتصال به بیوتین تشکیل شد. در مطالعات قبلی با ایجاد جهش‌های [۲۳] و W120A/F [۲۴] و W120F [۲۴] استرپتاویدین ساختار آن دچار تغییر نشده و تمایل اتصال آن‌ها به بیوتین به طور چشمگیری کاهش داشته است. در صورتی که در این مطالعه با ایجاد جهش علاوه بر تشکیل فرم مونومر استرپتاویدین، تمایل این استرپتاویدین با بیوتین نیز کاهش نیافت.

امروزه برای بررسی ساختار پروتئین از روش کلوینینگ استفاده می‌گردد. از مزیت‌های روش کلوینینگ علاوه بر فراهم کردن بررسی تغییرات ساختاری پروتئین‌ها، تولید بالای پروتئین می‌باشد [۲۵]. در این مطالعه میزان تولید استرپتاویدین نوترکیب در محیط NB1.5X به مقدار ۴۰ میلی‌گرم بر میلی‌لیتر رسید قابل ذکر است میزان تولید پروتئین در محیط NB1.5X بیشتر از محیط‌های NB2X و LB بود. ژن استرپتاویدین دارای ۶۳۸ جفت باز می‌باشد که ناحیه آن از باز ۱۶۰-۵۰ را شامل می‌شود. با توجه به این که CDS

پژوهش حاضر در بردارنده بخشی از پایان نامه کارشناسی ارشد خانم الهام دیده و را در دانشگاه علوم پزشکی اراک بوده که هزینه آن به وسیله معاونت تحقیقات و فناوری تأمین گردیده است. بدین وسیله نویسندهای مراتب قدردانی خود را از همکاران محترم در آزمایشگاه میکروبیولوژی مولکولی و آزمایشگاه مرکز تحقیقات دانشگاه علوم پزشکی اراک اعلام می‌دارند.

منابع

- [1] Han SH, Kim HM, Lim MW, Kim JK. Functional expression of soluble streptavidin in escherichia coli. *J Life Sci* 2015; 25: 631-637.
- [2] Dundas CM, Demonte D, Park S. Streptavidin–biotin technology: improvements and innovations in chemical and biological applications. *Appl Microbiol Biotechnol* 2013; 97: 9343-9353.
- [3] Sano T, Pandori MW, Chen X, Smith CL, Cantor CR. Recombinant core streptavidins a minimum-sized core streptavidin has enhanced structural stability and higher accessibility to biotinylated macromolecules. *J Biol Chem* 1995; 270: 28204-28209.
- [4] Weber PC, Ohlendorf D, Wendoloski J, Salemme F. Structural origins of high-affinity biotin binding to streptavidin. *Science* 1989; 243: 85-88.
- [5] Livnah O, Bayer EA, Wilchek M, Sussman JL. Three-dimensional structures of avidin and the avidin–biotin complex. *Proc Natl Acad Sci U S A* 1993; 90: 5076-5080.
- [6] Freitag S, Le Trong I, Klumb LA, Chu V, Chilkoti A, Stayton PS, Stenkamp RE. X-ray crystallographic studies of streptavidin mutants binding to biotin. *Biomol Eng* 1999; 16: 13-19.
- [7] Song J, Li Y, Ji C, Zhang JZ. Functional Loop Dynamics of the Streptavidin-Biotin Complex. *Sci Rep* 2015; 5: 7906.
- [8] Chu V, Stayton PS, Freitag S, Le Trong I, Stenkamp RE. Thermodynamic and structural consequences of flexible loop deletion by circular permutation in the streptavidin– biotin system. *Protein Sci* 1998; 7: 848-859.
- [9] Klumb LA, Chu V, Stayton PS. Energetic roles of hydrogen bonds at the ureido oxygen binding pocket in the streptavidin– biotin complex. *Biochemistry* 1998; 37: 7657-7663.
- [10] Zhang Z, Zhu H, Tang Y et al. Preparation and application of streptavidin magnetic particles. *Science in China Series B: Chemistry* 2007; 50: 127-134.
- [11] Schetters H. Avidin and streptavidin in clinical diagnostics. *Biomol Eng* 1999; 16: 73-78.
- [12] Laitinen OH, Nordlund HR, Hytönen VP, Kulomaa MS. Brave new (strept) avidins in biotechnology. *Trends Biotechnol* 2007; 25: 269-277.
- [13] Taylor SK, Wang J, Kostic N, Stojanovic MN. Monovalent streptavidin that senses oligonucleotides. *Angew Chem Int Ed Engl* 2013; 125: 5619-5622.
- [14] González Mn, Argarafía CE, Fidelio GD. Extremely high thermal stability of streptavidin and avidin upon biotin binding. *Biomol Eng* 1999; 16: 67-72.
- [15] Ellison D, Beynon RJ, Hinton J, Hubbard SJ. Limited proteolysis of native proteins: the interaction

با توجه به تولید پروتئین به صورت انکلوژن بادی، برای تهییه پروتئین دناتوره، از دناتورهای شیمیایی مانند اوره و گوانیدیوم هیدروکلراید استفاده شد. بنابراین برای ریفلدینگ پروتئین باید غلظت دناتورهای کاهش یابد [۳۱]. که این امر توسط دیالیز صورت گرفت. با توجه به این که بافر PBS به تنهایی در ریفلدینگ استرپتاویدین نوترکیب موثر نبود طوری که در طی سنجش ما شاهد کاهش جذب چندانی نبودیم بنابراین برای کمک به ریفلدینگ و اتصال استرپتاویدین به بیوتین از اسید آمینه‌های گلایسین و آرژنین استفاده شد. اسید آمینه آرژنین در بهبود ریفلدینگ پروتئین موثر واقع بود و در طی سنجش باعث کاهش جذب شد و نسبت مولی بیوتین به پروتئین اختلاف کمی با پروتئین استاندارد داشت در واقع آرژنین با زنجیره جانبی اکثر اسید آمینه‌ها واکنش داده ولی اتصال محدود آن به سطح پروتئین نقش مهمی در جلوگیری از تجمع ایفا می‌کند. به عبارتی برهمکنش بین گروه گوانیدینیوم آرژنین و زنجیره جانبی تریپتوفان احتمالاً مسئول مهار تجمع پروتئین می‌باشد و به ریفلدینگ پروتئین کمک می‌کند [۳۲] در این مطالعه دنباله‌های پروتئینی مربوط به پلاسمید pET32a استرپتاویدین تولید شده حذف نگردید. وجود این دنباله‌ها میتواند در واکنش بین بیوتین و استرپتاویدین موثر باشد. در این مطالعه نشان داده شد که pH مناسب محیط دیالیز جهت به دست آوردن ریفلدینگ صحیح استرپتاویدین نوترکیب pH قلیایی می‌باشد. در نهایت با به دست آوردن ریفلدینگ صحیح استرپتاویدین نوترکیب ما شاهد ساختار مونومر استرپتاویدین بودیم.

در این مطالعه با حذف تریپتوفان ۱۲۰ فرم مونومر استرپتاویدین تشکیل شد و با فراهم کردن شرایط مناسب ریفلدینگ برای استرپتاویدین نوترکیب، فرم مونومر آن دارای تمایل اتصال مناسب به بیوتین بود. بنابراین با ایجاد شرایط بهینه برای به دست آوردن ریفلدینگ صحیح پروتئین نوترکیب از انکلوژن بادی می‌توان به پروتئین فعال رسید.

تشکر و قدردانی

- association of streptavidin. Proc Nat Acad Sci 1995; 92: 3180-3184.
- [24] Chilkoti A, Tan PH, Stayton PS. Site-directed mutagenesis studies of the high-affinity streptavidin-biotin complex: contributions of tryptophan residues 79, 108, and 120. Proc Nat Acad Sci 1995; 92: 1754-1758.
- [25] Alibolandi M, Mirzahoseini H. Chemical assistance in refolding of bacterial inclusion bodies. Biochem Res Int 2011; 2011: 631607.
- [26] Argarana CE, Kuntz ID, Birken S, Axel R, Cantor CR. Molecular cloning and nucleotide sequence of the streptavidin gene. Nucleic Acids Res 1986; 14: 1871-1882.
- [27] Khow O, Suntrachun S. Strategies for production of active eukaryotic proteins in bacterial expression system. Asian Pac J Trop Biomed 2012; 2: 159-162.
- [28] Sugimura K, Higashi N. A novel outer-membrane-associated protease in Escherichia coli. J Bacteriol 1988; 170: 3650-3654.
- [29] Sambrook J, Fritsch E, Maniatis T. Molecular cloning: a laboratory manual. edition. New York: Cold Spring Harbor Laboratory 1989.
- [30] Farhangnia L, Ghaznavi-Rad E, Mollaee N, Abtahi H. Cloning, expression, and purification of recombinant Lysostaphin from Staphylococcus simulans. Jundishapur J Microbiol 2014; 7. (Persian).
- [31] Middelberg AP. Preparative protein refolding. Trends Biotechnol 2002; 20: 437-443.
- [32] Arakawa T, Ejima D, Tsumoto K, Obeyama N, Tanaka Y, Kita Y, Timasheff SN. Suppression of protein interactions by arginine: a proposed mechanism of the arginine effects. Biophys Chem 2007; 127: 1-8.
- between avidin and proteinase K. Protein Sci 1995; 4: 1337-1345.
- [16] Demonte D, Dundas CM, Park S. Expression and purification of soluble monomeric streptavidin in Escherichia coli. Appl Microbiol Biotechnol 2014; 98: 6285-6295.
- [17] Abbasian S, Soufian S, Nejad A, Abtahi H. Investigating the possibility of recombination the predicted antigenic fragment of Streptococcus pyogen hyaluronidase by bioinformatics softwares. Koomesh 2015; 17: 77-83.
- [18] Mirjamali NA-S, Soufian S, Mollaee N, Abbasian SS, Abtahi H. Cloning and expression of the enzymatic region of Streptococcal hyaluronidase. Iranian J Basic Med Sci 2014; 17: 667.
- [19] Abbasian SS, Abtahi H, Zolfaghari MR, Soufian S, Ghaznavi-Rad E. Cloning, expression, purification and antigenic evaluation of hyaluronidase antigenic fragments recombinant protein of streptococcus pyogenes. African J Biotechnol 2012; 11: 2376-2380.
- [20] Weber P, Wendoloski J, Pantoliano M, Salemme F. Crystallographic and thermodynamic comparison of natural and synthetic ligands bound to streptavidin. J Am Chem Soc 1992; 114: 3197-3200.
- [21] Laitinen O, Hytönen V, Nordlund H, Kulomaa M. Genetically engineered avidins and streptavidins. Cell Mol Life Sci 2006; 63: 2992-3017.
- [22] Bayer EA, Ben-Hur H, Hiller Y, Wilchek M. Postsecretory modifications of streptavidin. Bioch J 1989; 259: 369-376.
- [23] Sano T, Cantor CR. Intersubunit contacts made by tryptophan 120 with biotin are essential for both strong biotin binding and biotin-induced tighter subunit

Cloning and production of the monomer form of recombinant streptavidin and appraisal of its binding affinity to biotin

Elham Didevara (M.Sc)¹, Abdo alrahim Sadeghi (Ph.D)², Hamid Abtahi (Ph.D)^{*3}

1. Dept. of Biotechnology and Molecular Medicine, Arak University of Medical Sciences, Arak, Iran

2. Dept. of Biochemistry and Genetics, Arak University of Medical Sciences, Arak, Iran

3. Molecular and Medicine Research Center, Arak University of Medical Sciences, Arak, Iran

(Received: 16 Jan 2017; Accepted: 15 Nov 2017)

Introduction: Streptavidine is a homo triteramic protein that has a high biotin tendency to use in biotechnology and cellular studies. But its tetramer form interferes in some Measurements. Therefore, in this study, with a deletion mutation, a form of Streptavidine monomer was produced.

Materials and Methods: Firstly, the streptavidin nucleotide sequence was taken from NCBI site and after mutation in the sequence of the gene was optimized for expression in E.coli bacteria. Correspondingly, in order to clone the gene, E. coli DH5 α strain and to express the streptavidin gene E. coli BL21 (DE3) pLysS were used. Purification of protein was performed with Ni-NTA kit and by HABA dye, the tendency of binding of streptavidin to biotin was measured.

Results: Streptavidine monomer form was produced and purified in E.coli BL21 (DE3) pLysS expression host. The recombinant Streptavidine monomer has a tendency for binding to biotin.

Conclusion: By creating a mutation in the streptavidin peptide sequence, it can be obtained in the form of a monomer that has a tendency for binding to the biotin.

Keywords: Streptavidin, Cloning, Molecular, Escherichia coli.

* Corresponding author. Tel: +98 86-34173502

abtahi@arakmu.ac.ir